

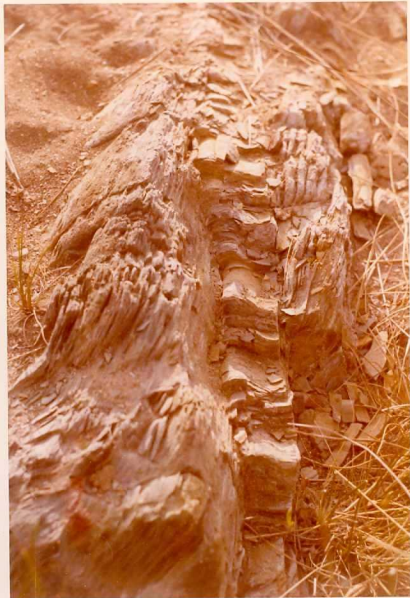


F. LC - 4001: Pliegues concéntricos en el Devónico - Tour  
naisiense - Viseiense inferior-medio del -  
rio Guadiamar.



24 • 100 •

F. LC - 4002: Pliegues de flujo con charnelas engrosadas  
A-A  
en el río Crispinejo (H P<sub>4</sub>)  
11-12



F. LC - 4003: Pliegues tipo "Chevron" de la  $S_1$  sobre la  $S_2$ .



72 • OCT • 1980

F. LC - 4004: Brecha volcánica ácida (H <sup>A-A</sup> <sub>T<sub>4</sub></sub>) en el río

11-12

Agrío (Crispinejo).



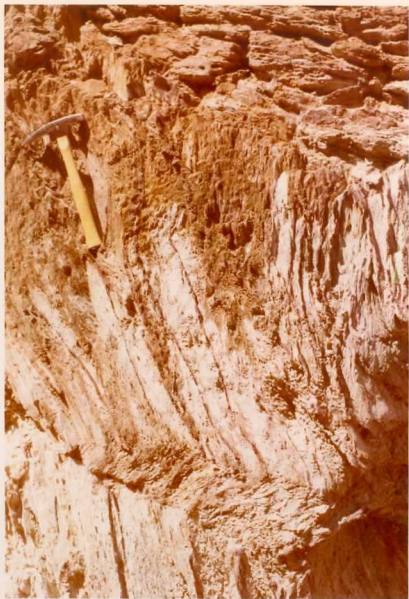
F. LC - 4005: Riolitas esquistosas ( $H_{V, \text{A-A}}$ ) en el antil  
11-12

guo camino de las oficinas de las minas de  
Aznaicóllar.



• SEP • 72

F. LC - 4006: Pliegues N-S de la Segunda fase en el rio  
Crispinejo ( $D_3 - H_{11-12}^{A-A}$ )



F. LC - 4007: "Kind bands" de la tercera fase en el rio  
Crispinejo ( $D_3 - H_{11-12}^{A-A}$ )



SEP 72

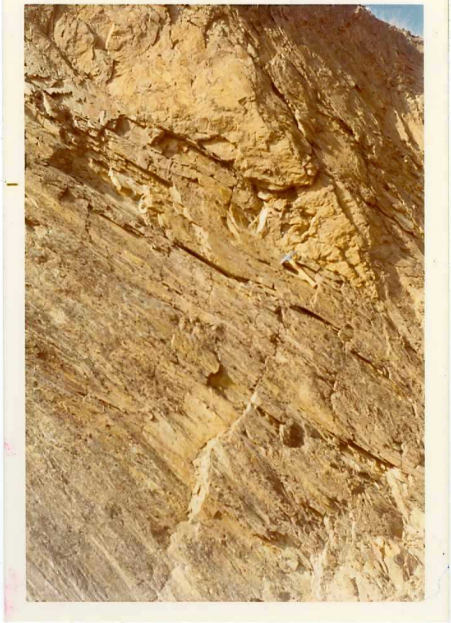
F. LC - 4008: Banco riolítico de textura microcristalina.  
Al fondo el pozo Santiago de Minas de Az-  
nalcóllar.



• OCT • 72



F. LC - 4009: Tramo de pizarras grafitosas negras (caolinizadas) en el tramo H  $\begin{matrix} A-A \\ r_b, \end{matrix}$  . (Minas de Aznalcóllar).  
11-12



F. LC - 4010: Horizonte de riolitas en el rio Agrio -  
(Crispinejo).



F. LC - 4011: Disyunción columnar en basaltos del núcleo del Sinclinal de Aznalcóllar. (H  $\frac{A-A}{v_2}$  11-12 ).



• SEP • 72

F. LC - 4012: Horizonte de cineritas abigarradas esquis-  
tosadas en el paso del volcanismo ácido  
inicial al volcanismo básico (Sinclinal de  
Aznalcollar) en el rio Agrio.



F. LC - 4013: Aglomerado volcánico porfídico y de composición dacítica ( $H_{T_4}^{A-A}$ ) en el río Crispi-  
11-12  
nejo o Agrio.



F. LC - 4014: Lentejones de jaspes rojos en brechas vol  
 cánicas ácidas ( $H_{11}^{A-A}$ ) en el ferrocarril  
 11-12  
 de Minas de Aznalcóllar.



F. LC - 4015: Aglomerado volcánico correspondiente al -  
volcanismo ácido inicial ( $H_{T_1}^{A-A}$ ) en el  
11-12  
arroyo de los Frailes.



F. LC - 4016: Pliegues isoclinales de la primera fase  
afectadas por fallas inversas (H<sup>A-A</sup><sub>P<sub>1</sub></sub>)  
11-12  
en el rio Crispinejo.



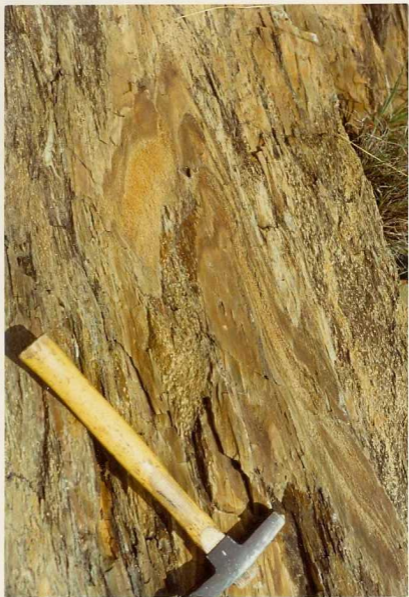


F. LC - 4017: Lavas ácidas ( $H_{V_1}^{A-A}$ ) sobre pizarras -  
11-12

( $H_{P_1}^{A-A}$ ). Al fondo el  $D_3 - H_{11-12}^{A-A}$  cabal-  
11-12 11-12

gante sobre el "complejo volcánico-sedimen-  
rio" Rio Crispinejo.

F. LC - 4018: Detalle de las fotografías F. LC - 4002.



74 • 120 •



F. LC - 4019: Muestra de pirita fajeada afectada por pliegues de la fase 1b.



F. LC - 4020: Microfallas afectando a pliegues isoclina  
les de fase Ib.



F. LC - 4021: Pliegues de So en fase lb en el D<sub>3</sub> - H<sub>11-12</sub><sup>A-A</sup>  
Corresponden al punto de toma de muestras  
3036 y 3037.



F. LC - 4022: Relaciones  $S_0/S_1$  en el  $D_3 - H_{11-12}^{A-A}$ .  $S_1$  está afectada por pliegues suaves de plano axial subhorizontal.



F. LC - 4023: Relaciones  $S_0/S_1$  en el techo de  $H_{T_3}^{A-A}$   
11-12



F. LC - 4024: Relaciones  $S_0/S_1$  en niveles de lavas intercaladas en el H  $\tau_3$  A-A .  
11-12